

ВЛИЯНИЕ МОЩНОЙ УФ ПОДСВЕТКИ НА КИНЕТИКУ СПЕКТРАЛЬНОЙ ХАРАКТЕРИСТИКИ ФОТОПРОВОДИМОСТИ ZnS:C1

А. Н. Георгобиани, Р. Г. Маев, Ю. В. Озеров, В. И. Пустовойт,
Э. Е. Струмбан

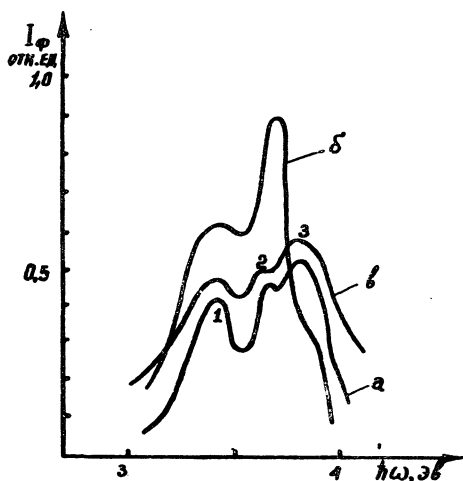
УДК 537.3II.33

В работе исследовалось влияние мощной стационарной УФ подсветки на спектральное распределение фотопроводимости монокристаллов ZnS:C1. Обнаруженное изменение спектральной зависимости фототока объясняется в рамках простой трехуровневой модели фотополупроводника, учитывающей также разогревающее действие УФ подсветки.

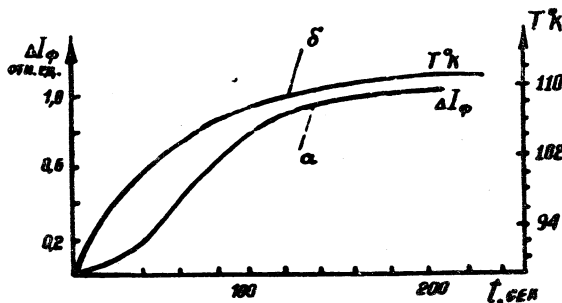
В работе обнаружено и исследовано аномальное поведение спектральной зависимости фототока в монокристаллах ZnS:C1 при включении мощной стационарной УФ подсветки ($\lambda = 365$ нм). В спектре обнаружены три пика с энергиями 3,40; 3,64 и 3,81 эв (эти пики обозначены соответственно индексами I + 3 на рис. I). Первые два пика отождествлены нами с комплексом $(V_{Zn}Cl_3)_S^+$ и однозарядной вакансией цинка V_{Zn}^1 , соответственно, а третий пик - с собственными зона-зонными переходами (такая интерпретация пиков согласуется с результатами работ /I-3/).

Отличительной особенностью полученного спектра является поведение пика с энергией 3,64 эв, амплитуда которого резко возрастает в присутствии мощной УФ подсветки с энергией $\hbar\omega = 3,4$ эв (рис. I, кривая б).

В эксперименте использованы высокоомные ($\rho \geq 10^8$ ом. см) монокристаллы ZnS:C1, выращенные сублимационным методом. Спектральное распределение фотопроводимости снималось в диапазоне энергий 3,0 + 4,0 эв при температуре 90°К. Точность определения положения пиков фотопроводимости была не хуже 0,02 эв. Излучение линии $\hbar\omega = 3,4$ эв ртутной лампы высокого давления HBO-200 фокусировалось на кристалл с размерами 3 x 2 x 1 мм³, закрепленный на хладопроводе азотного криостата. Интенсив-



Р и с. 1. Спектры фотопроводимости монокристаллов ZnS:Cl
а) при 90°К; без УФ подсветки; энергии пиков I + 3 разны соот-
вественно 3.40: 3.64 и 3.81 эв; б) при стационарной УФ подсвет-
ке $\hbar\omega = 3,4$ эв; в) без УФ подсветки при 110°К



Р и с. 2. а) Временная зависимость изменения амплитуды пика фо-
тот проводимости 3,64 эв после включения ($t = 0$) стационарной УФ
подсветки. б) Временная зависимость изменения температуры об-
разца после включения стационарной УФ подсветки

нность зондирующего излучения, модулированного с частотой порядка 36 Гц, была значительно меньше интенсивности УФ подсветки.

Для объяснения поведения пика 2 (3,64 эв) нами были исследованы как временная динамика нарастания амплитуды этого пика

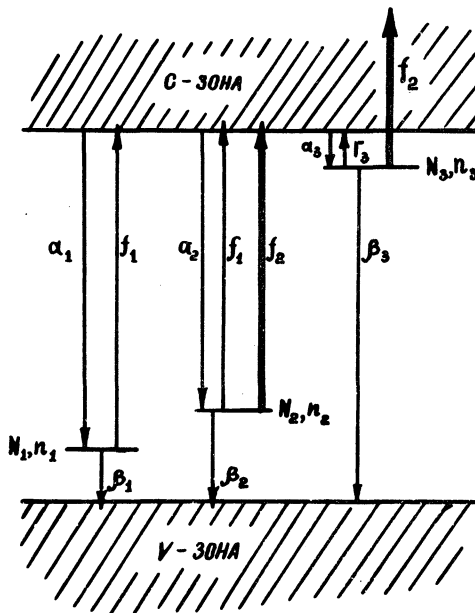


Рис. 3. Трехуровневая модель фотополупроводника, использованная для объяснения поведения пика 3,64 эв. N_1 и n_1 - концентрации центров и их населенности; α_1 - сечение захвата электрона на 1-й уровень; $f_{1,2}$ - интенсивности соответственно зондирующей и стационарной УФ подсветки; Γ_3 - вероятность теплового выброса электрона с уровня III в с-зону; β_1 - вероятность перехода электрона с 1-го уровня в v-зону

при "включении" УФ подсветки, так и временная зависимость изменения температуры образца от длительности УФ подсветки (см. рис.2). Оказалось, что характерное время нарастания температуры образца до насыщения и время установления стационарной амплитуды фотопроводимости этого пика сравнимы между собой и составля-

ют $\sim 2 \cdot 10^2$ сек (при этом увеличение температуры кристалла ΔT составляло $18 - 20^\circ$). Существенно, что непосредственный нагрев образца на $\Delta T = 20^\circ$ не приводит к аномалиям в спектре (рис. I, кривая В), в то же время включение мощной УФ подсветки после проведенного нагрева приводит к быстрому возрастанию пика фотопроводимости 3,64 эв до соответствующего стационарного значения.

Для объяснения наблюдаемых особенностей нами рассмотрена простейшая трехуровневая модель фотополупроводника (рис. 3): центры I и II, расположенные ближе к валентной зоне, имеют сечения захвата электронов из зоны проводимости значительно меньшие, чем сечения захвата дырок из валентной зоны (так называемые центры очувствления /4/); центры III являются ловушками для электронов с энергией ионизации E_3 , (причем $E_3 < E_2 < E_1$; в кристаллах ZnS:Cl центры III могут соответствовать, в частности, хлорным ловушкам или макузельному цинку с $E_3 = 0,12$ эв /5/). Анализ этой модели показывает, что при освещении кристалла зондирующим светом с интенсивностью I_1 в кристалле устанавливается динамическое равновесие между электронными центрами I, II и III и соответствующими зонами. "Включение" затем мощной УФ подсветки с интенсивностью $I_2 \gg I_1$ приводит к изменению кинетики процессов перехода носителей между зонами и центрами и кроме того, к некоторому повышению температуры; последнее в первую очередь приводит к возрастанию вероятности термического выброса электронов с центров III. Как показывает анализ, время жизни неравновесных носителей в с-зоне для переходов с-зона - уровни I, II возрастает, что приводит к росту пиков фотопроводимости 3,40 и 3,64 эв. Однако, как показал опыт, возрастание амплитуды пика фотопроводимости 3,40 эв существенно меньше возрастания пика 3,64 эв. Это, по нашему мнению, обусловлено частичным опустошением уровня 3,4 эв стационарной УФ подсветкой.

В заключение следует отметить, что обнаруженные на опыте явления могут быть использованы в задачах оптоэлектроники, в частности, для управления оптическими свойствами полупроводника.

Поступила в редакцию
14 мая 1976 г.

Л и т е р а т у р а

1. А. Н. Георгобиани, Ю. В. Озеров, Х. Фридрих. ФТТ 15, 2986 (1973).
2. A. N. Georgobiani, Yu. V. Ozerov, E. E. Strumban, V. V. Anisimov. Phys. Stat. Sol. (a) 35, N 1, 251 (1976).
3. A. N. Georgobiani, R. G. Maev, Yu. V. Ozerov, E. E. Strumban. Phys. Stat. Sol. (a) 38, №1 (1976).
4. V. E. Lashkarev, M. K. Sheinkman. Phys. Stat. Sol. 11, 429 (1965).
5. В. Г. Була, А. В. Ефименко, И. А. Тале, В. Ф. Туницкая. ЖПС 23, 652 (1975).